

# 정규화된 블라인드 등화 알고리즘에 관한 연구

장기원<sup>o</sup>, 허창원, 윤태성, 허영<sup>\*</sup>

국립 창원대학교 신호처리 실험실, 한국전기연구소<sup>\*</sup>

jgw@dsplab.changwon.ac.kr

## A Study on Normalized Blind Equalization Algorithms.

Gi-Won Jang<sup>o</sup>, Chang-Won Huh, Tae-Sung Yoon, Pan-Bong Ha, Young Huh<sup>\*</sup>

Changwon National University Signal Processing Lab.,

Korea Electrotechnology Research Institute<sup>\*</sup>

jgw@dsplab.changwon.ac.kr

### Abstract

In this study, we derived Stop-and-go Normalized DD, Dual-mode Normalized Sato, Dual-mode NCMA blind equalization algorithm for complex data. and then, the convergence characteristics of the proposed SG-NDD, Dual-mode NSato blind equalization algorithms are compared with those of SG-DD, Dual-mode Sato algorithms. In general, the normalized blind equalization algorithms have better convergence characteristics than the conventional algorithms.

### I. 서론

초기 training주기를 피하기 위한 등화기를 블라인드 등화기라 한다. 블라인드 등화를 위한 기본적인 알고리즘으로는 Sato 알고리즘[1] 및 Godard[2] 알고리즘이 있다. Godard 알고리즘의 차수가 2차인 경우를 특별히 Constant Modulus Algorithm(CMA)라 일컫는데, Treichler과 그 연구진들에 의해 발표되었다.[3] 그러나, 이러한 Sato 및 CMA 알고리즘은 수렴 특성이 좋지 못하기 때문에, 수렴 성능을 향상시키기 위해 많은 연구가 이루어져 왔다. 결정 지향(Decision-Directed:DD) 알고리즘의 단순성을 그대로 지니면서 블라인드 수렴 특성을 개선시킬 수 있는 알고리즘을 Picchi와 Prati가 제안 했는데, 기본 생각은 위의 조건들이 결정 한 출력 오차값의 신뢰도가 충분히 좋지 않으면 적응

과정을 멈추는 것으로, 이진값을 지니는 플래그(flag)를 설정하여 현재의 결정에 대한 출력 오차가 일반적인 DD알고리즘에 신뢰성 있게 쓰일 수 있는지, 없는지를 판단하는 알고리즘이다.[4] 여기서 좀 더 효과적으로 Sato 에러의 부호에 기초한 stop-and-go를 사용한 기법이 발표되어졌는데, stop-and-go DD(SG-DD) 알고리즘이라 한다.[5] Ready는 CMA와 DD 알고리즘의 혼합된 모습을 하고 있는 반경 지향 방식을 제안했다.[6] 그리고, Weerackody는 결정 영역을 정하여 영역에 따라 각기 다른 등화 동작을 하도록 한, 이중 모드를 가지는 새로운 적응 블라인드 등화 알고리즘을 제안하였다.[7]

최근에는 전통적인 최소평균자승(LMS) 알고리즘의 성능을 향상시킨 정규화된 알고리즘(NLMS)를 적용한 NCMA 알고리즘이 제안되었다.[8] 그리고, DD 알고리즘을 정규화시킨 NDD 알고리즘이 제안되었다.[9]

본 논문에서는 DD, CMA의 수렴 특성을 향상시킨 정규화 알고리즘인 NDD, NCMA 알고리즘을 기술하고, 정규화(normalization)를 SG-DD와 이중모드 알고리즘에 적용시킨 블라인드 등화 알고리즘을 제안하고자 한다. 또한, 컴퓨터 모의실험을 통하여 제안한 알고리즘의 수렴 특성을 기존의 알고리즘의 수렴 특성과 비교해 보고자 한다.

본 논문의 구성은 2절에서 NCMA를 기술한다. 3절에서는 NDD를 서술하고 이를 기존의 SG-DD 알고리즘에 적용시킨 블라인드 등화 알고리즘을 제시한다. 또한, 4절에서는 정규화된 이중 모드 형태의 블라인드

동화 알고리즘을 제안한다. 5절에서는 모의 실험과 실험 결과를 제시하고, 제안한 알고리즘의 성능을 확인하며, 마지막으로 6절에서는 결론을 맺는다.

## II. 정규화된 CMA블라인드 동화알고리즘

초기 적용 필터 계수를 적용하기 위한 2-2 CMA는 "2-2 modulus error", J를 최소화 한다.

$$J = E[|y(n)|^2 - A^2]^2 \quad (2.1)$$

여기서, A는 원하는 modulus 이고, 그리고

$$y(n) = \sum_{k=0}^{N-1} w_n(k)x(n-k) = \underline{W}_n^T \underline{X}_n \quad (2.2)$$

은 동화기의 출력이다. 식(2.2)에서 x(n)은 동화기의 입력신호, w<sub>n</sub>(k)는 적용 필터 탭이고,

$$\underline{X}_n = [x(n), x(n-1), \dots, x(n-N+1)]^T$$

$$\underline{W}_n = [W_n(0), W_n(1), \dots, W_n(N-1)]^T \text{ 이다.}$$

필터 계수의 갱신 식은 다음과 같다

$$\begin{aligned} w_k(n+1) &= w_k(n) - 4\mu(|y(n)|^2 - A^2)y(n)x^*(n-k) \\ &= w_k(n) - \mu K x^*(n-k) \end{aligned} \quad (2.3)$$

$$K = 4(|y(n)|^2 - A^2)y(n) \quad (2.4)$$

or

$$\begin{aligned} \underline{W}_{n+1} &= \underline{W}_n - 4\mu(|y(n)|^2 - A^2)y(n)\underline{X}_n^* \\ &= \underline{W}_n - \mu K \underline{X}_n^* \end{aligned} \quad (2.5)$$

여기서  $\mu$ 는 스텝 크기로 전형적으로 실험적 경험에 의해 상수로 선택된다. 정규화된 최소 평균 자승(LM-S) 해석법을 적용하면, 최적의 수렴율은 사후 에러  $\epsilon_n$ 를 영으로 만들 때 얻어진다.

$$\epsilon_n = |\underline{W}_{n+1}^T \underline{X}_n|^2 - A^2 \quad (2.6)$$

(2.6)과 (2.5)식을 조합해서 구하면

$$\begin{aligned} |K|^2 \|\underline{X}_n\|^4 \mu^2 - 2y^*(n)K \|\underline{X}_n\|^2 \mu \\ + |y(n)|^2 - A^2 = 0 \end{aligned} \quad (2.7)$$

이고, 식(2.7)을  $\mu$ 에 관해서 풀면

$$\mu_{\pm} = \frac{y^*(n)K \pm A|K|}{|K|^2 \|\underline{X}_n\|^2} \quad (2.8)$$

식(2.4)의 K를 (2.8)식에 대입한 2-2 CMA의 가장 작은 양수해는 다음 식과 같다.

$$\mu_{+min} = \frac{|y(n)|^2 - A|y(n)|}{4|y(n)|^2(|y(n)|^2 - A^2)\|\underline{X}_n\|^2} \quad (2.9)$$

식(2.9)가 NCMA의 스텝 크기가 된다.

## III. 정규화된 stop-and-go 알고리즘

II 절에서 언급된 정규화 기법을 결정-지향(Decision-Directed) 동화에 적용하기 위해, 가중치 벡터를 다음 식처럼 정의한다.

$$w_k(n+1) = w_k(n) - \mu \epsilon_{DD}(n) x^*(n-k) \quad (3.1)$$

or

$$\underline{W}_{n+1} = \underline{W}_n - \mu \epsilon_{DD} \underline{X}_n^* \quad (3.2)$$

$$\text{여기서, } \hat{p} = \arg \min_{|n|} |y(n) - \alpha_p|$$

$$\epsilon_{DD}(n) = y(n) - \alpha_{\hat{p}} \quad (3.3)$$

사후 에러를 영으로 하면,

$$w_k(n+1) X^T(n) = \alpha_p \quad p=0,1,\dots,P-1 \quad (3.4)$$

이고, NCMA와 같은 방법으로 전개하면

$$\mu = \frac{1}{\|\underline{X}_n\|^2} \text{ 이 된다.} \quad (3.5)$$

이것이 NDD의 스텝 크기가 되고, NDD 알고리즘은 다음 식처럼 다시 적용 수 있다.

$$w_k(n+1) = w_k(n) - \frac{1}{\|\underline{X}_n\|^2} \epsilon_{DD}(n) x^*(n-k) \quad (3.6)$$

QAM 신호에서의 Sato 알고리즘은

$$w_k(n+1) = w_k(n) - \mu_{sato} \epsilon_{sato}(n) x^*(n-k) \quad (3.7)$$

$$\epsilon_{sato}(n) = y(n) - \gamma \cdot \text{csgn}[y(n)] \quad (3.8)$$

가 된다.

(3.6) 식을 실수부와 허수부로 나누어 flag 상수를 넣은 stop-and-go 알고리즘으로 정리하면

$$\begin{aligned} \underline{w}_R(n+1) &= \underline{w}_R(n) - \mu [f_R(n) \underline{y}_R(n) e^{D_R(n)} \\ &\quad + f_I(n) \underline{y}_I(n) e^{D_I(n)}] \end{aligned} \quad (3.9)$$

$$\begin{aligned} \underline{w}_I(n+1) &= \underline{w}_I(n) + \mu [f_R(n) \underline{y}_I(n) e^{D_R(n)} \\ &\quad - f_I(n) \underline{y}_R(n) e^{D_I(n)}] \end{aligned} \quad (3.10)$$

$$f_j(i) = \begin{cases} 1 & \text{if } \text{sgn}[e^{D_j(n)}] = \text{sgn}[e^{j(n)}] \\ 0 & \text{otherwise} \end{cases}$$

이 된다. 여기서, (3.9)와 (3.10)에 (3.5)를 대입한 식이 제안하는 SG-NDD 식이 된다.

## IV. 정규화된 이중 모드 형태의 알고리즘

### 1. 정규화된 이중모드 Sato 알고리즘

stop\_and\_go 알고리즘과 비슷하게 동화기 출력값이 어느 특정 범위내에 들어오면 수렴율이 좋은 결정-지향 방식을 따르고, 그 외의 경우에는 Sato 알고리즘을 따르게 해서, 수렴 성능을 향상시킨 방법이 이중 모드 형태의 Sato 알고리즘이다.

그림1 처럼 출력 y(n) 신호가 결정 범위 2d내에 존재

하게 되면 에러 신호는

$$\epsilon = \{ y_R(n) - d_R(n) \} + j \{ y_I(n) - d_I(n) \} \quad (4.1)$$

2d 내에 존재하지 않으면

$$\epsilon = \{ y_R(n) - \gamma \text{sgn}(y_R(n)) \} + j \{ y_I(n) - \gamma \text{sgn}(y_I(n)) \} \quad (4.2)$$

가 된다.

따라서 16-QAM 데이터를 위한 가중치 갱신 식은 다음 처럼 될 수 있다.

$$w(n+1) = w(n) - \mu [ \{ y_R(n) - d_R(n) \} + j \{ y_I(n) - d_I(n) \} ] X^*(n) \quad y(n) \in D_k \quad (4.3)$$

$$w(n+1) = w(n) - \mu [ \{ y_R(n) - \gamma \text{sgn}(y_R(n)) \} + j \{ y_I(n) - \gamma \text{sgn}(y_I(n)) \} ] X^*(n) \quad y(n) \notin D_k \quad (4.4)$$

그리고 이 식을 정규화 기법에 적용시키면,

$$\mu = \frac{\alpha}{\|X_n\|^2} \text{로 스텝 크기가 바뀌어 진다. 여기서}$$

$\alpha$ 는 수렴을 적당히 빠르게 조절하기 위한 초기값이 되고, 이 스텝 크기를 (4.3)과 (4.4)에 적용한 것이 제안하는 정규화된 이중 모드 Sato(Dual-NSato) 알고리즘이 된다.

## 2. 정규화된 이중모드 CMA 알고리즘

앞절에서 Sato 알고리즘을 이중 모드 형태에 적용을 했던 것과 마찬가지로 CMA를 이중 모드에 적용할 수 있다. 즉, 그림2 처럼 출력 값의 반경이 정해진 반경 범위 내에 있으면 특정한 반경을 따르게 되고, 그 외 범위에 있으면 원래의 CMA 반경을 따르게 되는 것이다. 따라서 가중치 update 하는 식은 다음처럼 된다.

$$w(n+1) = w(n) - \mu [ |y(n)|^2 - R_k ] y(n) X^*(n) \quad y(n) \in D_k \quad (4.5)$$

$$w(n+1) = w(n) - \mu [ |y(n)|^2 - R ] y(n) X^*(n) \quad y(n) \notin D_k \quad (4.6)$$

여기서,  $R_k$ 는 16QAM인 경우  $R_1=0.2$   $R_2=1$   $R_3=1.8$ 로 설정되고,  $R=1.32$ 가 된다. 그리고  $d$ 가 0.2보다 작을 경우에는  $k=1,2,3$ 일 때  $d_k=d_{k_0}=d$ 가 되지만,  $d$ 가 0.2보다 클 때는  $k=2,3$ 일 때는  $d_k=d_{k_0}=d$ 가 되고,  $d_{1_0}=d$ ,  $d_{1_1}=0.2$ 가 되어야 한다.

이 이중 모드 알고리즘을 정규화 기법에 적용을 하면 스텝 크기가 NCMA의 스텝 크기로 바뀌게 된다.

$$\mu = \frac{|y(n)| - A}{|y(n)| ( |y(n)|^2 - A^2 ) \|X_n\|^2}$$

## V. 모의 실험 및 결과 고찰

제안된 알고리즘의 성능을 확인하기 위하여 입력은 균일 분포를 가지는 복소 16QAM 신호를 사용하고 분

산은 1로 맞추었다. 부가 잡음으로는 평균이 0이고 분산이 1인 가우시안 랜덤 백색 잡음을 사용하였다. 그리고, SNR은 30[dB]로 하였다. 채널은 실험로서 다음 식과 같이 주어지며[4], 비회소 위상 특성을 갖는다.

$$h = h_R + j h_I$$

$$\{h_R\} = \{-0.005, 0.009, -0.024, 0.854, -0.218, 0.049, -0.016\}$$

$$\{h_I\} = \{-0.004, 0.030, -0.104, 0.520, 0.273, -0.074, 0.020\}$$

등화기  $w(n)$ 은 8개의 탭(tap)을 갖는 FIR 필터를 사용하였고, 각 실험에 사용한 스텝 크기의 결정은 실험적으로 하였다. 알고리즘의 수렴 특성은 다음 식과 같이 정의되는[10] 심볼간 간섭을 사용하여 실험해 보았다.

$$ISI(s) = \frac{\|s\|_2^2 - \|s\|_\infty^2}{\|s\|_\infty^2}$$

여기서,  $s$ 는 채널 계수 벡터  $h$ 와 등화기 계수 벡터  $w$ 을 컨볼루션(convolution)함으로써 얻어지는 벡터이고,  $\|\cdot\|_2$ 는  $l_2$ -norm,  $\|\cdot\|_\infty$ 는 infinity-norm이다. 완전 등화의 경우  $s$ 는 임펄스 열의 형태가 되며, 이때  $ISI(s)$ 의 값은 0이 된다. 따라서, ISI가 적을수록 등화 특성이 좋음을 의미한다.

그림3은 SG-DD와 SG-NDD의 수렴 특성을 나타내고 있다. SG-DD의 스텝 크기는 0.00078로 맞추고, SG-NDD의 스텝 크기의 초기값은 0.01로 했다. 반복 횟수는 29000번으로 10년의 앙상블 평균을 취한 것이다. 이 곡선에서 볼 수 있는 것처럼 정규화된 것의 수렴 특성이 더 좋음을 알 수 있다.

그림4는 위에서와 같은 조건하에서 이중 모드에 적용한 경우인데, 여기서도 정규화된 경우가 더 좋음을 볼 수 있다.

그리고, CMA에 이중모드와 정규화된 이중모드 알고리즘을 적용을 해보았는데 이 경우는 정규화된 알고리즘의 성능이 이중모드 알고리즘과 비슷하게 나왔음을 확인했다.

## VI. 결 론

본 연구에서는 정규화기법을 stop-and-go 및 이중모드 블라인드 알고리즘에 적용을 해 보았다. 그 결과 기존의 알고리즘보다 수렴 특성이 더 좋음을 확인했다. 그러나 이중 모드의 CMA 등화 알고리즘 경우에는 비슷한 성능을 가짐을 알 수 있었다.

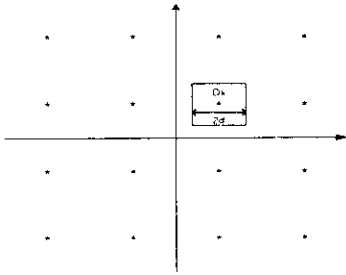


그림1. 16-QAM을 위한 이중-모드 Sato 알고리즘의 결정 영역

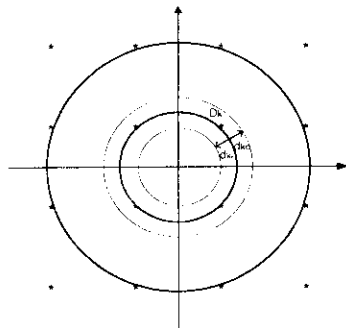


그림2. 16-QAM을 위한 이중-모드 CMA 알고리즘의 결정 영역

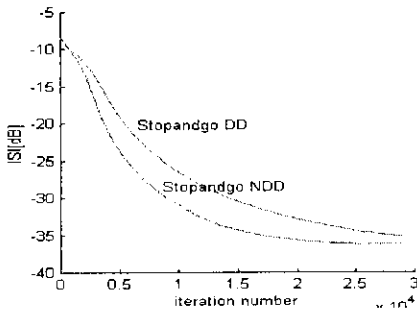


그림3. SG-DD와 SG-NDD의 수렴 특성

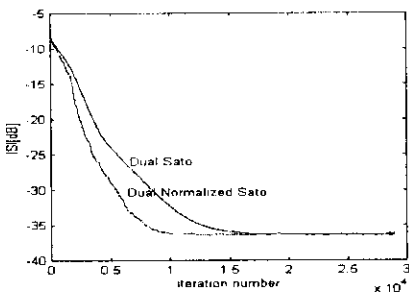


그림4. Dual-Sato와 Dual-NSato 수렴 특성

참고문헌

[1] Y. Sato, "A Method of Self-Recovering Equalization for Multilevel Amplitude Modulation System", *IEEE Trans. Comm.* vol. COM-23, pp.679-682, June. 1975

[2] D. N. Godard, "Self-Recovering Equalization and carrier tracking in two-dimensional data communication system", *IEEE Trans. Comm.* vol. COM-28, pp.1867-1875, Nov. 1980

[3] J. R. Treichler and B. G. Agee, "A New Approach to Multipath Correction of Constant Modulus Signals", *IEEE Trans. on ASSP.* vol. 31. No. 2, pp.459-471, Apr. 1983

[4] G. Picchi and G. Prati, "Blind equalization and carrier recovery using a 'stop and go' decision-directed algorithm", *IEEE Trans. Comm.* Vol. COM-35, pp.877-887, Sep. 1987

[5] Dimitrios Hatzinakos, "Stop-and Go Sign Algorithms for Blind Equalization", *SPIE Adaptive Signal Processing* Vol. 1565, pp.118-129, 1991

[6] Michael J. Ready and Richard P. Gooch, "Blind Equalization Based on Radius Directed Adatation", *IEEE ICASSP'90*, pp.1699-1702, Apr. 1990

[7] V. Weerackody and S. A. Kassam, "Dual-Mode Type Algorithms for Blind Equalization", *IEEE Trans. Comm.* Vol. COM-42, pp.18-20, Jan. 1994

[8] Douglas L. Jones, "A Normalized Constant-Modulus Algorithm", *IEEE Proceeding*, pp.694-679, 1996

[9] A. Lee Swindlehurst, "Normalized Adaptive Decision Directed Equalization", *IEEE Signal Proc. Letters* Vol. 5 No. 1, pp.18-20, Jan. 1998

[10] J. G. Proakis. *Digital Communications*. New York. McGraw-Hill, 3rd ed., 1995.